



گونه‌شناسی، سبک‌شناسی و آنالیز عنصری الگوهای شیشه‌ای اوایل اسلامی گنبد جهانگیر و تپه گوریه در استان ایلام

بی‌تا سودایی*^۱، داود آقاعلی‌گل^۲، لیلا خسروی^۳

۱. دانشیار گروه باستان‌شناسی، دانشکده علوم انسانی، دانشگاه آزاد اسلامی واحد ورامین پیشوا، ورامین، ایران

۲. پژوهشگاه علوم و فنون هسته‌ای، پژوهشکده فیزیک و شتابگرها، آزمایشگاه واندوگراف، تهران، ایران

۳. دانشیار پژوهشکده باستان‌شناسی میراث فرهنگی، تهران، ایران

تاریخ پذیرش: ۱۴۰۲/۱۰/۰۳

تاریخ دریافت: ۱۴۰۲/۰۵/۳۰

چکیده

محوطه‌های باستانی گنبد جهانگیر و تپه گوریه در استان ایلام بخشی از شبکه راه‌های ارتباطی با بین‌النهرین محسوب می‌شوند. از این رو در مطالعات باستان‌شناسی دوران ساسانی و اوایل اسلامی از اهمیت بسیاری برخوردارند. در این پژوهش، ۲۰ الگوی شیشه‌ای به دست آمده از این محوطه‌ها با قدمت اوایل دوره اسلامی برای مطالعه و اندازه‌گیری ترکیبات عنصری انتخاب شدند. هدف از این پژوهش گونه‌شناسی و سبک‌شناسی الگوهای شیشه‌ای به دست آمده از محوطه‌های مورد مطالعه و مقایسه تطبیقی آنها با الگوهای شیشه‌ای محوطه سیراف و الگوهای شیشه‌ای موزه اورشلیم در فلسطین اشغالی به منظور بررسی احتمال تجارت این اشیاء از طریق راه‌های تجاری بین مناطق جنوب و غرب ایران است. این پژوهش بر اساس مطالعات میدانی، اسنادی با رویکرد توصیفی و با روش آنالیز آزمایشگاهی میکروپیکسی انجام شده است. بدین ترتیب در ابتدا الگوهای شیشه‌ای گونه‌شناسی و سبک‌شناسی شدند و از بین آنها بر اساس نوع تزئین، رنگ و شکل، دوازده نمونه برای آنالیز عنصری انتخاب و با استفاده از روش میکروپیکسی آنالیز شدند. نتایج گونه‌شناسی الگوهای شیشه‌ای نشان می‌دهد الگوهای شیشه‌ای این محوطه‌ها بر اساس شکل ظاهری به پنج گروه مختلف تقسیم می‌شوند که عبارت از الگوهای ساده با مقطع دایره‌ای، الگوهای تخت با مقطع نیم‌دایره، الگوهای آجدار، الگوهای تابیده با مقطع دایره‌ای و الگوهای دارای تزئینات هندسی تکرار شونده هستند. مطالعات تطبیقی نیز نشان می‌دهد که این نمونه‌ها از نظر ظاهری شباهت بسیاری با الگوهای شیشه‌ای به دست آمده از محوطه باستانی سیراف و فلسطین دارند. همچنین نتایج آزمایشات میکروپیکسی نشان می‌دهد ترکیبات عنصری الگوهای شیشه‌ای گنبد جهانگیر و تپه گوریه از نوع شیشه‌های سیلیکا-سودا-آهک هستند که منبع تأمین سودا در آنها خاکستر به دست آمده از گیاهان رشد یافته در خاک‌های شور بوده است.

واژگان کلیدی: الگوی شیشه‌ای، اوایل اسلامی، میکروپیکسی، گنبد جهانگیر، تپه گوریه، سیراف

* نویسنده مسئول مکاتبات: bita.sodaei@iau.ac.ir

۱. مقدمه

گنبد جهانگیر و تپه گوریه با مختصات جغرافیایی 38s X:605380 و Y:3752210، 38s X:606595 و Y:3752695 در پنجاه کیلومتری شمال غرب استان ایلام، در شهرستان ایوان، در هشتصد متری روستای سرتنگ، در دو سوی رودخانه کنگیر و رو به روی یکدیگر واقع شده‌اند. این منطقه باستانی در زاگرس میانی قرار دارد و بخشی از شبکه راه‌های ارتباطی با بین‌النهرین به شمار می‌آیند. مساحت این منطقه تقریباً یک‌صد و هفتاد هزار مترمربع است و کاوش‌های باستان‌شناسی طی سه فصل بین سال‌های ۱۳۹۴ تا ۱۳۹۶ توسط لیلا خسروی انجام شده است. در آخرین فصل کاوش‌ها در سال ۱۳۹۶، در ساختمان E.X11 در گنبد جهانگیر و از اتاق‌های شماره ۳ و ۴ و در تپه گوریه، از زیر آوارهای ساختمانی و لایه‌های مربوط به اواخر دوره ساسانی در فضاهای مختلف از جمله کنار ستون‌های گچی، ستون‌های چسبیده به دیوارها و در زیر کف گچی و برخی از بررسی‌های سطحی، حدود ۶۰ قطعه شیشه به دست آمد که شامل عطردان، النگو و مهره شیشه‌ای است. بر اساس نتایج آزمایشات سال‌یابی به روش گرمالیان (ترمولومیناس) قدمت این محوطه‌ها به اواخر دوره ساسانی و قرون اولیه اسلامی برمی‌گردد (Agha-Aligol et al., 2019). شیشه‌های باستانی در زمره داده‌های فرهنگی به شمار می‌آیند که مطالعه آنها می‌تواند اطلاعات تاریخی ارزشمندی در زمینه تجارت و مبادلات بین منطقه‌ای برای پژوهشگران را فراهم آورد. در این پژوهش سعی شده است به گونه‌شناسی و ریخت‌شناسی النگوهای شیشه‌ای گنبد جهانگیر و تپه گوریه و مقایسه آن با النگوهای شیشه‌ای سیراف و النگوهای شیشه‌ای موزه اورشلیم در فلسطین اشغالی پرداخته شود؛ بنابراین در این پژوهش ۲۰ قطعه النگوی شیشه‌ای از نظر ریخت‌شناسی و تزیینات سطحی مورد مطالعه قرار گرفته و بر اساس فرم ظاهری طبقه‌بندی شده‌اند. همچنین بر اساس فراهم شدن امکانات آزمایشگاهی تعدادی از این نمونه‌ها با روش میکروپیکسی مورد آنالیز عنصری قرار گرفته‌اند و نتایج آنها در ادامه مورد تحلیل و بررسی قرار گرفته است. در بررسی‌های اولیه بر اساس مطالعات ریخت‌شناسی و فرم‌شناسی شباهت بسیاری بین النگوهای این دو محوطه با النگوهای شیشه‌ای به دست آمده از محوطه باستانی سیراف مشاهده شده است (Swan et al., 2017). بر این اساس، پرسش‌های اصلی این پژوهش عبارت‌اند از: ۱- النگوهای شیشه‌ای به دست آمده از گنبد جهانگیر و تپه گوریه از نظر ریخت‌شناسی و شیوه تزیینات به چند گروه تقسیم می‌شوند؟ ۲- با توجه به آثار مورد مطالعه از این محوطه‌ها و مقایسه آنان با منطقه سیراف و موزه اورشلیم در فلسطین اشغالی آیا می‌توان ادعا کرد که یک ارتباط فرامنطقه‌ای بین این محوطه‌های تاریخی وجود داشته است؟ ۳- بر اساس آنالیز عنصری آیا ماده اولیه یکسانی در ساخت این النگوها استفاده شده است؟

۲. پیشینه پژوهش

بررسی‌های انجام شده نشان می‌دهد، بریل و همکارانش در موزه شیشه کورنینگ با استفاده از آنالیز دستگاهی، نخستین بار از شیشه‌های ایران که شیشه‌های قدیمی شهر نیشابور و متعلق به اوایل دوران اسلامی بودند را مورد بررسی قرار داده‌اند. نتایج این بررسی‌ها نشان می‌دهد که شیشه‌های تاریخی نیشابور بر اساس اینکه رنگی یا بی‌رنگ (سفید) باشند، از نظر ترکیبات عنصری کاملاً متفاوت هستند و احتمالاً محل تولیدشان نیز متفاوت بوده است (Brill, 1999; Brill, 2012). پژوهش دیگری که بر روی شیشه‌های ایرانی با هدف تعیین منشأ و پراکنش شیشه‌های اوایل دوران اسلامی انجام شده است، مجموعه‌ای متشکل از یک‌صد و شصت و نه نمونه شیشه از پنج شهر همدان، ری، قم، گرگان و نیشابور با استفاده از روش ICP-MS مورد آنالیز قرار گرفتند. نتایج این پژوهش نشان می‌دهد شیشه‌های آنالیز شده به شش گروه تقسیم می‌شوند و همگی از نوع شیشه‌های سیلیکا-سودا-آهک به شمار می‌آیند و ماده‌گذارآور آنها خاکستر گیاهی است. از این میان سه گروه از این شیشه‌ها منشأ بین‌النهرینی دارند و سه گروه دیگر احتمالاً با مواد اولیه تولید شده در ایران ساخته شده‌اند (Henderson, 2013). پژوهش‌های داخلی نیز از سال ۱۳۹۶ با هدف مشخص شدن چالش‌های موجود در زمینه آنالیز

عنصری و تحلیل ترکیبات تشکیل دهنده شیشه‌های تاریخی ایران و رفع موانع پیش رو در آزمایشگاه واندوگراف پژوهشکده فیزیک و شتاب‌گرها در پژوهشگاه علوم و فنون هسته‌ای آغاز شده است. نتایج به دست آمده از مطالعات آزمایشگاهی شیشه‌های تاریخی نشان می‌دهد که غالب شیشه‌های مطالعه شده از ایران از نوع شیشه‌های سیلیکا-سودا-آهک هستند که در ساخت آنها از خاکستر گیاهان به عنوان ماده گدازآور استفاده شده است. مقایسه ترکیبات عنصری شیشه‌های آنالیز شده از مناطق مختلف ایران با مناطق دیگر جهان نشان می‌دهد که درصد وزنی اکسیدمنیزیم و اکسیدپتاسیم در شیشه‌های ایرانی نسبت به نمونه‌های حوزه شرق مدیترانه مانند سوریه، فلسطین و لبنان بیشتر است (Bahadori & Agha Ali Gol, 2018). همچنین، آقالی‌گل و همکاران به بررسی و تعیین منشأ مواد اولیه مصنوعات شیشه‌ای دوره اشکانی در کاخ شاتور و آنالیز مهرها و ظروف شیشه‌ای به دست آمده از محوطه صالح داود در شوش پرداخته‌اند (Agha-Aligol et al., 2018). بر اساس نتایج آنالیز این نمونه‌ها مشخص شده است که ظروف شیشه‌ای کاخ شاتور و صالح داود همگی از نوع شیشه‌های سیلیکا - سودا- آهک هستند که در آنها از خاکستر گیاهان به عنوان گدازآور استفاده شده است و احتمالاً این شیشه‌ها تولید بومی هستند. از طرف دیگر، آنالیز مهره‌های شیشه‌ای صالح داود نشان می‌دهد که در ساخت مهره‌های شیشه‌ای این محوطه از ماده معدنی ناترون به عنوان ماده گدازآور استفاده شده که می‌تواند شاهی بر واردات این مهره‌ها از حوزه مدیترانه باشد (Agha-Aligol et al., 2018). علاوه بر این مطالعات، آقالی‌گل و همکاران با مطالعه و آنالیز الگوهای شیشه‌ای محوطه بندر کنگ قدیم و شمد دیده‌بان در دوره اسلامی، بر اساس ماده گدازآور این نتیجه را بیان می‌کنند که الگوهای این دو محوطه با یکدیگر تفاوت دارند و از منابع متفاوتی تأمین شده‌اند (Agha-Aligol et al., 2022). عناصری که از طریق ماده گدازآور وارد ترکیبات شیشه می‌شوند، عبارت از اکسیدسدیم، اکسیدپتاسیم، اکسیدمنیزیم و اکسیدکلسیم است. سیر و اسمیت بر اساس درصد وزنی اکسیدمنیزیم و اکسیدپتاسیم شیشه‌های سیلیکا-سودا-آهک را به دو گروه تقسیم می‌کنند که عبارت‌اند از: ۱- شیشه‌های ناترونی ۲ - شیشه‌های تولید شده از خاکستر گیاه (Agha-Aligol et al., 2022; Sayre & Smith, 1961). مشخص شده است که در شیشه‌های ناترونی مقدار وزنی اکسیدمنیزیم و اکسیدپتاسیم کمتر از ۱/۵ درصد است و در شیشه‌های سیلیکا-سودا - آهک ساخته شده از خاکستر، مقدار وزنی این دو اکسید بیشتر از ۲/۵ درصد است (Sayre & Smith, 1961). همچنین شالوت نش برای پایان‌نامه دکتری خود نود و دو قطعه از الگوهای شیشه‌ای سیراف را با روش LA-ICP-MS آنالیز و تجزیه و تحلیل کرده است. نتایج اولیه این پژوهش نشان می‌دهد شیشه‌های سیراف متعلق به چهار منطقه مختلف است که به نوعی تأیید کننده جایگاه سیراف در تجارت منطقه‌ای و فرا منطقه‌ای است (Nash, 2021). از دیگر پژوهش‌های انجام شده در این زمینه می‌توان به مقاله امامی و همکاران اشاره کرد که با هدف تعیین ترکیب شیمیایی شیشه‌های چغازنبیل و فن‌آوری ساخت آنها انجام شده است (Emami & Pakgozar, 2017). صالح وند و همکاران نیز پژوهشی پیرامون لوله‌های شیشه‌ای درهای چغازنبیل با روش XRF با هدف آشنایی با هنر شیشه‌گری در دوره ایلام میانه انجام داده‌اند (Salehvand et al., 2017). بررسی‌های انجام شده نشان می‌دهد که پژوهش‌های مرتبط با شیشه‌های دوره ساسانی محدود است و مطالعات بسیار کمی بر روی تعدادی از نمونه‌های دوره ساسانی انجام شده است. اولین آنالیزهایی که از شیشه‌های دوره ساسانی گزارش شده مربوط به تحقیقات بریل است که در آن تعدادی از نمونه‌های به دست آمده از چند محوطه باستانی مانند تیسفون در عراق گزارش شده است (Brill, 2012). همچنین میرتی و همکارانش ۸۹ نمونه از قطعات شیشه‌ای به دست آمده از کاوش‌های باستان‌شناسی محوطه وهاردشیر در عراق امروزی را با آزمایش ICP-MS مورد تجزیه و تحلیل قرار دادند که قدمت این نمونه‌ها به دوره اشکانی و ساسانی برمی‌گردند. نتایج آزمایشات نشان می‌دهد که غالب نمونه‌های دوره ساسانی به دست آمده از وهاردشیر از نوع سیلیکا-سودا-آهک هستند و در ساخت آنها از خاکستر گیاهان به عنوان مواد گدازآور استفاده شده است (Mirti et al., 2008). همچنین سیمپسون بر اساس فرم‌شناسی ظروف شیشه‌ای در مقاله‌ای به طور مبسوط به تولید و گردش شیشه در دوره ساسانی پرداخته است (Simpson, 2015). آقالی‌گل و همکاران نیز با استفاده از روش میکروویپکسی بر روی تعدادی از مصنوعات شیشه‌ای دوره ساسانی از محوطه گنبد جهانگیر و تپه گوریه

که اغلب آنها ظروف شیشه‌ای بودند، به اندازه‌گیری ترکیبات عنصری و منشأ تولید این اشیاء پرداخته است (Agha-Aligol et al., 2019). آرمان شیشه‌گر در مقاله‌ای تحت عنوان «تولید و تجارت در جهان اسلام: نجوای دلنشین النگوها در سفر تاریخی»، به معرفی النگوهای شیشه‌ای به دست آمده در کشورهای اسلامی بر اساس شباهت‌های ظاهری به منظور بررسی تجارت در شرق و غرب جهان اسلام پرداخته است (Shishegar, 2018). علاوه بر این، از نقطه نظر مطالعات ریخت‌شناسی النگوهای شیشه‌ای، اسپار در مقاله‌ای تحت عنوان النگوهای شیشه‌ای قبل از اسلام در فلسطین، به معرفی و گونه‌شناسی النگوهای شیشه‌ای قبل از اسلام در موزه اورشلیم پرداخته است (Spaer, 1998). در این پژوهش النگوهای شیشه‌ای اوایل اسلامی از نظر ریخت‌شناسی بررسی شده و مورد آنالیز عنصری قرار گرفته‌اند و با محوطه‌های داخل و خارج از ایران مقایسه شده‌اند.

۳. مواد و روش پژوهش

این پژوهش با روش توصیفی - تحلیلی با رویکرد مطالعات تطبیقی بر اساس مطالعات میدانی و اسنادی انجام شده است. در این مرحله بر اساس مطالعات کتابخانه‌ای و منابع موجود، نمونه‌های مورد بررسی با نمونه‌های محوطه‌های سیراف و شیشه‌های موزه اورشلیم مقایسه شده است. در مرحله بعدی با استفاده از روش آنالیز میکروپیکسی نمونه‌های منتخب برای اندازه‌گیری عناصر تشکیل دهنده و شناسایی مواد اولیه به کار رفته در النگوهای شیشه‌ای جهت منشأیابی آنالیز و تحلیل شده‌اند.

۴. نتایج و بررسی گونه‌شناسی و ریخت‌شناسی النگوهای شیشه‌ای

ریخت‌شناسی النگوهای به دست آمده از محوطه گنبد جهانگیر و تپه گوریه بر اساس تقسیم‌بندی اسپار (Spear) انجام شده است. بدین ترتیب می‌توان آنها را به ۵ گروه مختلف تقسیم کرد که عبارت‌اند از: ۱- النگوهای ساده با مقطع دایره‌ای (Circular bracelets with a circular cross-section)، ۲- النگوهای تخت با مقطع نیم‌دایره (The flat bracelet at Jahangir Dome)، ۳- النگوهای تابیده با مقطع دایره (Twisted monochrome bracelets)، ۴- النگوهای آجدار (Protuberances bracelets) و ۵- النگوهای دارای تزئینات هندسی تکرار شونده بر سطح بیرونی (Mosaic bracelet) که در ادامه به معرفی هر یک از این گروه‌های ذکر شده پرداخته می‌شود.

۱-۴. النگوهای ساده با مقطع دایره

سه نمونه از النگوهای مورد مطالعه دارای سطح مقطع دایره‌ای و فاقد هرگونه تزئینات سطحی و شکل‌دهی هستند. بر اساس نمونه‌برداری انجام شده، این النگوها تک رنگ و هر سه نمونه سبز رنگ هستند و سطح بیرونی آنها کاملاً با پوشش صدفی سفید رنگ پوشیده شده است (جدول ۱). این گونه از النگوها از اوایل قرن سوم میلادی تولید شده‌اند و تا دوران اسلامی نیز تولید آنها ادامه داشته است و از پراکنش و فراوانی بالایی برخوردارند (Spear, 1998). برای ساخت النگوهای شیشه‌ای مقدار کمی از مذاب شیشه را با یک لوله آهنی برداشته و با کمک لوله آهنی دیگری از دو سو آن را می‌کشیدند، می‌چرخاندند و حرارت می‌دادند تا یک مفتول دایره‌ای شکل به وجود آید (Meyer, 1992). سپس آن را به اندازه حلقه النگو بریده و دو سر آن را به هم وصل می‌نمودند و به هم پیوستن دو سر مفتول شیشه‌ای گاهی بدون درز و برخی مواقع درزی ایجاد می‌شده که با گرم کردن سطح داخلی آنها را صاف می‌کردند و بدین‌وسیله درز آنها را از بین می‌بردند. از آنجایی که همه النگوهای شیشه‌ای حلقه‌ای شکل هستند. تفاوت آنها را می‌توان بر اساس مقطع به چهار گونه تقسیم کرد که عبارت از مقطع دایره‌ای، نیم‌دایره، تخت و نوک تیز هستند. در بین النگوهای پیش از اسلام دو نوع اول بسیار رایج است و نوع سوم به ندرت یافت می‌شود (Spear, 1998).

۴-۲. الگوهای تخت با مقطع نیم‌دایره



















دوازده نمونه از الگوهای مورد بررسی به صورت الگوهای تخت با مقطع نیم‌دایره هستند که بر اساس تزیینات به دو گروه تقسیم می‌شوند؛ که عبارت‌اند از: الگوهای تخت بدون شیار و الگوهای تخت با شیارهای موازی (جدول ۲). این گروه از الگوها تک رنگ هستند و از نظر زمانی به قرن سوم و چهارم میلادی برمی‌گردند (Spare, 1998).

جدول ۱: الگوهای ساده با مقطع دایره‌ای شکل به دست آمده از گنبد جهانگیر

تصویر	شماره نمونه	شفافیت	رنگ	نوع تزیین	سطح مقطع	اندازه (میلی‌متر)
	B1	مات	سبز - پوشیده شده با پوشش صدفی سفید رنگ	الگوی ساده و بدون تزیین سطحی	دایره	بلندا: ۷۰ قطر: ۷
	B2	مات	سبز - پوشیده شده با پوشش صدفی سفید رنگ	الگوی ساده و بدون تزیین سطحی	دایره	بلندا: ۲۵ قطر: ۲
	B3	مات	سبز - پوشیده شده با پوشش صدفی سفید رنگ	الگوی ساده و بدون تزیین سطحی	دایره	بلندا: ۷۵ قطر: ۷

جدول ۲: الگوهای تخت به دست آمده از محوطه گنبد جهانگیر

تصویر	شماره نمونه	شفافیت	نوع تزیین	رنگ	سطح مقطع	اندازه (میلی‌متر)
	B 4	مات	الگو ساده بدون شیار	سبز پوشش صدفی	نیم‌دایره	بلندا: ۷۰ پهنا: ۵ قطر: ۳
	B5	مات	الگو با تزیینات عمودی	سبز پوشش صدفی	نیم‌دایره	بلندا: ۷۲ پهنا: ۷ قطر: ۵
	B6	مات	الگوی ساده بدون شیار	سبز - پوشش صدفی	نیم‌دایره	بلندا: ۵۰ پهنا: ۳

بلندا: ۲۰ پهنا: ۴	نیم‌دایره 	سبز - پوشش صدفی	النگوی ساده بدون شیار	مات	B7	
بلندا: ۷۰ پهنا: ۷ قطر: ۵	نیم‌دایره 	سبز - پوشش صدفی	النگو با تزئینات عمودی	مات	B8	
بلندا ۳۰ پهنا: ۲	نیم‌دایره 	سبز با پوشش صدفی	النگو ساده بدون شیار	مات	B9	
بلندا: ۷۰ پهنا: ۷ قطر: ۵	نیم‌دایره 	سبز با پوشش صدفی	النگو با تزئینات عمودی	مات	B10	
بلندا: ۷۲ پهنا: ۷ قطر: ۵	نیم‌دایره 	سبز تیره با پوشش صدفی	النگو با تزئینات عمودی	مات	B11	
بلندا: ۷۰ پهنا: ۷ قطر: ۵	نیم‌دایره 	سبز با پوشش صدفی	النگو با تزئینات عمودی	مات	B12	
بلندا: ۷۰ پهنا: ۷ قطر: ۵	نیم‌دایره 	سبز با پوشش صدفی	النگو با تزئینات عمودی	مات	B13	
بلندا: ۷۲ پهنا: ۵	نیم‌دایره 	سبز با پوشش صدفی	النگوی ساده بدون شیار	مات	B14	
بلندا: ۲۰ پهنا: ۲	نیم‌دایره 	سبز با پوشش صدفی	النگوی ساده بدون شیار	مات	B15	

۳-۴. انگوهای آجدار

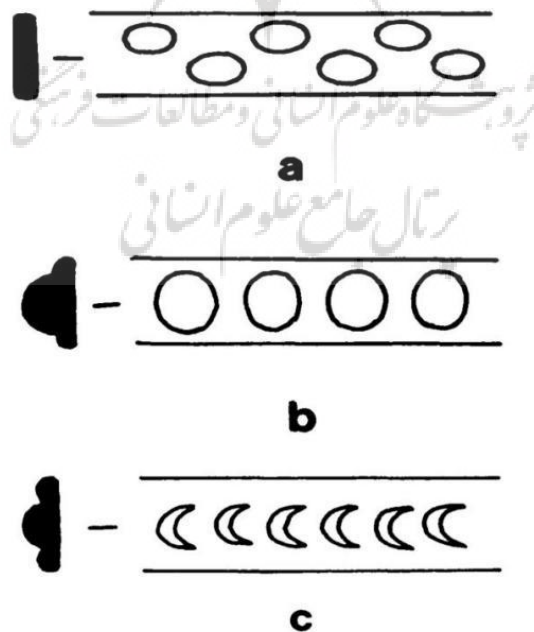
سومین گروه شامل انگوهای آجدار است که سه نمونه از آن به دست آمده است. این انگوها از نظر سبک و گونه‌شناسی به سه گروه تقسیم می‌شوند. گروه اول در سطح آنان برآمدگی‌های گرد و برجسته‌ای مشاهده می‌شود که در قرن سوم و چهارم میلادی رواج داشته‌اند (شکل ۱a). گروه دوم برآمدگی‌هایی بزرگ تخم‌مرغی شکل در سطح انگوها مشاهده می‌شود که بیشتر در قرن چهارم و پنجم میلادی رواج داشته‌اند (شکل ۱b). گروه سوم شامل برآمدگی شبیه هلال ماه است و تاریخ آن به قرن‌های سوم و چهارم میلادی برمی‌گردد (شکل ۱c) (Spare, 1998). انگوهای شیشه‌ای به دست آمده در محوطه گنبد جهانگیر و تپه گوریه از نوع اول هستند (جدول ۳).

۴-۴. انگوهای تابیده با مقطع دایره (Twisted monochrome bracelets)

این انگوها بر اساس نوع پیچ به سه دسته تقسیم می‌شوند: ۱- انگوهایی با پیچ‌های با فاصله و تراکم کم، ۲- انگوهایی با پیچ‌های متراکم و ۳- انگو با پیچ کمی برجسته که مقطع آنها دایره‌ای است و قدمتشان به قرن ششم و هفتم میلادی برمی‌گردد (شکل ۲) (Spare, 1998). انگوی به دست آمده در تپه گوریه از نوع انگوهایی با پیچ‌های متراکم است (جدول ۴). ساخت انگوهای تابیده تک رنگ مانند انگوهای ساده است با این تفاوت که در هنگام شکل‌دهی با کمک میله‌ای دیگر قسمت بیرونی انگو را فرم می‌دادند و در طول کار آن را می‌چرخاندند و حرارت می‌دادند تا قطر و پیچ مارپیچی مورد نظر را به دست آورد (Spare, 1998).

۵-۴. انگوهای تزئین شده با نقش‌های تکرار شونده (Mosaic bracelet)

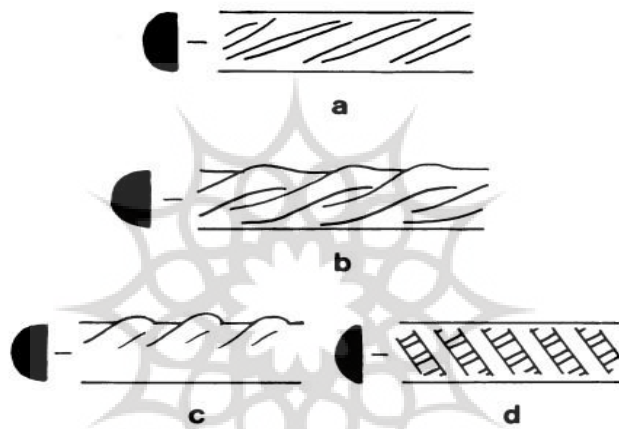
یک قطعه انگوی موزائیکی تخت که سطح آن با نقش هندسی سبز و یک قطعه فیروزه مات تزئین شده است در کاوش‌های گنبد جهانگیر به دست آمده است. بررسی‌ها نشان می‌دهد این نوع انگوهای موزائیکی در دوره اسلامی رواج داشته‌اند و بیشتر در مناطق مصر به دست آمده‌اند و در دوره مملوکان رایج بوده است (جدول ۵) (Spear, 1992).



شکل ۱: طرح‌های مختلف انگوهای آجدار (Spare, 1998)

جدول ۳: دستبندهای آجدار از گنبد جهانگیر

اندازه (میلی‌متر)	مقطع	شفافیت	رنگ	نوع تزئین	شماره نمونه	تصویر
۷ بلندا: ۶۰: پهنا: ۲	نیم‌دایره 	مات	سبز با پوشش صدفی	الگوهای آجدار با تزئینات برجسته	B 16	
۲۰: بلندا ۱٫۵: پهنا: ۲۵: بلندا: ۱٫۵: پهنا:	نیم‌دایره 	مات	سبز با پوشش صدفی	الگوهای آجدار با تزئینات برجسته	B 17&18	





شکل ۲: طرح‌های الگوهای تابیده با مقطع دایره اسپیرال (Spare, 1998)

جدول ۴: الگو تابیده با مقطع دایره اسپیرال از تپه گوریه

اندازه (میلی‌متر)	مقطع	شفافیت	رنگ	تزئینات	شماره نمونه	تصویر
پهنا: ۳۰ قطر: ۳	دایره 	مات	سبز با پوشش صدفی	الگو با پیچ‌های متراکم	B19	

جدول ۵: قطعه‌ای از دستبند موزائیکی از گنبد جهانگیر

اندازه (میلی‌متر)	مقطع	رنگ	شفافیت	تزئینات	شماره نمونه	تصویر
بلندا: ۳۰ پهنا: ۲	تخت 	زرد، قهوه‌ای، سبز، آبی و سیاه	مات	دستبند موزائیکی با طرح هندسی و یک قطعه فیروزه مات	B20	














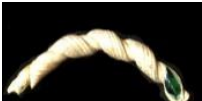


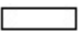
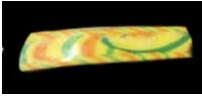
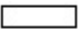

۵. مطالعه تطبیقی و تحلیل داده‌های ریخت‌شناسی

علاوه بر محوطه گنبد جهانگیر و تپه گوریه در غرب ایران، در محوطه سیراف الگوهای شیشه‌ای بسیار زیادی به دست آمده است که این الگوها در نظر اول از نظر ریخت‌شناسی شباهت زیادی به الگوهای گنبد جهانگیر دارند. بندر سیراف یکی از بنادر شرقی خلیج فارس است که قدمت آن به اواخر دوره ساسانی برمی‌گردد و تا اوایل قرن پنجم هجری، مهم‌ترین پایانه تجاری در خلیج فارس محسوب می‌شده است (Whitehouse, 1968). الگوهای شیشه‌ای به دست آمده از محوطه سیراف از نظر ریخت‌شناسی با نمونه‌های مورد بررسی از گنبد جهانگیر و تپه گوریه مطابقت و مقایسه شده است. این محوطه توسط یک گروه انگلیسی تحت نظارت دیوید وایت هاوس در هفت فصل از سال ۱۹۶۶ تا ۱۹۷۳ کاوش شده است (Whitehouse, 1968). مصنوعات شیشه‌ای و سایر یافته‌های کشف شده در سیراف که قدمت آنها به دوره ساسانی (قرن هشتم) و اوایل اسلامی می‌رسد، اکنون در موزه بریتانیا نگهداری می‌شوند (Swan et al., 2017). همان‌طور که اشاره شد در کاوش‌های باستان‌شناسی انجام شده در سیراف، قطعات شیشه‌ای بسیاری به دست آمده است که وایت هاوس آنها را بر اساس شکل ظاهری به سه گروه شیشه‌های از نوع پارسی شرقی، شیشه‌های محلی و شیشه‌های مصری تقسیم کرده است. شیشه‌های پارسی شرقی شامل شیشه‌های بی‌رنگ و یا سفید مات یا شفاف هستند که فاقد تزئینات هستند و نمونه آنها در دوره هخامنشی نیز به دست آمده است. شیشه‌های محلی شامل ظروف شیشه‌ای آبی و سبز است که شامل کاسه‌ها، ظروف، فنجان‌ها و بطری‌ها هستند و تزئینات به شکل کندو و یا خطوط هندسی مشاهده می‌شوند. شیشه‌های نوع مصری شامل ظروف با قالب دمیده و حکاکی شده است (Swan et al., 2017). علاوه بر این شیشه‌ها، الگوهای شیشه‌ای فراوانی نیز در سیراف به دست آمده که برخی ساده و برخی نیز متشکل از رشته‌های رنگی شیشه‌ای به رنگ‌های آبی، سبز، قرمز، زرد و سیاه هستند (Swan et al., 2017). در ادامه جهت مقایسه و مطالعات تطبیقی به معرفی و گونه‌شناسی الگوهای شیشه‌ای سیراف در موزه بریتانیا پرداخته شده است.

الگوهای شیشه‌ای بندر سیراف در موزه بریتانیا را می‌توان از نظر ظاهری به پنج گروه تقسیم کرد که عبارت‌اند از: ۱- الگوهای ساده دایره‌ای، ۲- الگوهای تخت با مقطع نیم‌دایره ۳- الگوهای آجدار، ۴- الگوهای تابیده با مقطع دایره‌ای و ۵- الگو با تزئینات هندسی (Nash, 2021) (جدول ۶).

جدول ۶: گونه‌شناسی الگوهای شیشه‌ای سیراف (Nash, 2012b; Swan et al., 2017)

مقطع	رنگ	شفافیت	تزئین	تصویر
دایره 	آبی	شفاف	النگوی ساده دایره‌ای	
دایره 	سبز	شفاف	النگوی ساده دایره‌ای	

نیم‌دایره 	آبی	شفاف	النگوی تخت	
نیم‌دایره 	آبی	شفاف	النگوی تخت	
نیم‌دایره 	سیاه رنگ	تیره	النگوی تخت	
نیم‌دایره 	سبز- زرد	مات	النگوی آجدار	
نیم‌دایره 	سبز- قهوه‌ای- آبی	مات	النگوی آجدار	
دایره 	سبز- پوشش صدفی	مات	النگوی تابیده	
دایره 	سبز با پوشش صدفی	مات	النگوی تابیده اسپیرال	
دایره 	سیاه با پوشش صدفی	مات	النگوی تابیده اسپیرال	
تخت 	زرد، سبز و نارنجی	مات	النگو با تزئینات هندسی	
تخت 	سبز با نقوش قرمز و زرد	مات	النگو با تزئینات هندسی	

با بررسی تطبیقی بین النگوهای شیشه‌ای به دست آمده از محوطه گنبد جهانگیر و تپه گوریه با النگوهای شیشه‌های سیراف می‌توان گفت این النگوها از نظر سبک و شکل شبیه به هم هستند ولی تنوع النگوهای شیشه‌ای در سیراف بیشتر است. از جمله می‌توان به النگوهای سیاه رنگ ساده و النگوهایی با پیچ‌های با فاصله و تراکم کم اشاره کرد که متعلق به دوران

اسلامی هستند (Agha-Aligol et al., 2023). ولی این نوع از الگوها در گنبد جهانگیر و تپه گوریه به دست نیامده است. همچنین الگوهای سیاه رنگ ساده در محوطه بندر کنگ و شمد دیده‌بان در کرانه خلیج فارس به دست آمده که متعلق به دوران میانه اسلامی است و نتایج آنالیزهای انجام شده نشان می‌دهد مواد اولیه استفاده شده در تولید الگوها متفاوت است و احتمالاً محل تولید متفاوتی داشته‌اند (Agha-Aligol et al., 2022). همچنین الگوهای شیشه‌ای در کاوش‌های جلگه مرودشت در نزدیکی قصر ابونصر در شیراز نیز به دست آمده است که شامل سه قطعه الگو به رنگ‌های قهوه‌ای روشن، سفید و شیری است و دارای تزئینات ماریچ و خط‌های موازی هستند. در کاوش‌های شاتور در استان خوزستان نیز شش قطعه الگو شیشه‌ای ساده، تابیده و مرصع به دست آمده که در مخزن موزه شوش نگهداری می‌شود و آنها را به سده‌های سوم تا پنجم ه.ق نسبت داده‌اند. در منطقه چوبجی رامهرمز نیز الگوی تک رنگ آبی و دارای لکه قرمز رنگ به دست آمده است که متعلق به دوران پیش از اسلام است (Shishegar, 2018). در ادامه برای بررسی تجارت فرامنطقه‌ای به بررسی الگوهای شیشه‌ای موجود در موزه اورشلیم پرداخته شده است. این الگوها توسط اسپار معرفی و گونه‌شناسی شده‌اند (Spare, 1998). اسپار، الگوهای شیشه‌ای پیش از اسلام به دست آمده از کاوش‌های باستان‌شناسی در موزه اورشلیم را بر اساس ریخت و تزئینات سطحی طبقه‌بندی کرده و آنها را به چهار گروه عمده تقسیم نموده است؛ که شامل: ۱- الگوهای ساده بدون تزئینات سطحی، ۲- الگوهای تخت با مقطع نیم‌دایره، ۳- الگوهای تابیده تک رنگ یا چند رنگ (Spaer, 1998) و ۴- الگوهای اسلامی که هر کدام بر اساس ریخت و تزئینات سطحی به گروه‌های فرعی مختلفی تقسیم می‌شوند (Spaer, 1992). اسپار الگوهای گروه یک تا سه را متعلق به قرن سوم تا هفتم میلادی معرفی کرده و آنها را در زمره الگوهای پیش از اسلام می‌داند. همچنین پنج قطعه الگوی شیشه‌ای در جزیره قلعه در منطقه عنه در عراق امروزی و در مرز سوریه توسط مایکل رف گزارش شده است که به قرون اولیه و میانه اسلامی (قرن دوم تا هشتم ه.ق) برمی‌گردد و از نظر ظاهری عبارت است از الگوی ساده دایره‌ای به رنگ آبی، الگوهای آجدار آبی رنگ، الگوی تابیده با رنگ لیمویی-سبز و الگویی مرصع با رنگ‌های سیاه، سفید و آبی است (Northedege et al., 1988; Grabar et al., 1978). آرمان شیشه‌گر در مورد این الگوها معتقد است به جز یک نمونه بقیه الگوها قابل طبقه‌بندی نیستند و از سویی آنها را قابل مقایسه با الگوهای شیشه‌ای سیراف می‌داند (Shishegar, 2018). از منطقه تل زجاج در شمال شرقی رقه در سوریه الگوهای شیشه‌ای گزارش شده است که قدمت آن به قرن دوم و سوم ه.ق برمی‌گردد ولی تصویری از آن ارائه نشده است (Shishegar, 2018). الگوهای به دست آمده از خربه المینیه که توسط اسپار گونه‌شناسی شده‌اند متعلق به دوران اسلامی هستند (Spare, 1992)؛ و از این نوع از الگوها به جز یک نمونه در گنبد جهانگیر و تپه گوریه به دست نیامده است.

۶. نتایج میکروپیکسی

آنالیز عنصری به روش میکروپیکسی به دلیل غیرمخرب بودن یکی از روش‌های متداول در آنالیز عنصری نمونه‌های باستانی است. آنالیز با میکروپیکسی یا «گسیل پرتو X» در اثر برانگیختگی با باریکه میکرونی پروتون» در اثر برخورد ذرات پرانرژی مانند پروتون با اتم‌های عناصر تشکیل دهنده نمونه مورد بررسی، پرتوهای X مشخصه‌ای گسیل می‌شود که انرژی این پرتوهای X، نوع عناصر موجود در نمونه و تعداد پرتوهای X با انرژی معین، غلظت (درصد وزنی) عناصر تشکیل دهنده نمونه را مشخص می‌کند (Van Wersch et al., 2016; Demortier, 2005). در این پژوهش با توجه به مطالعاتی بودن نمونه‌های مورد بررسی، نمونه‌هایی با ابعاد چند میلی‌متر از الگوهای شیشه‌ای تهیه شده و آنالیز میکروپیکسی از سطح مقطع آنها انجام گرفته است. همچنین، برای انجام آنالیز میکروپیکسی از باریکه پروتون با انرژی ۲/۲ MeV و با شدتی در حدود ۲۰-۵۰ pA که توسط شتاب‌دهنده واندوگراف ۳ MV آزمایشگاه واندوگراف پژوهشگاه علوم و فنون هسته‌ای تولید می‌شود، استفاده شده است. قطر باریکه پروتون در این آزمایش‌ها کمتر از ۱۰ میکرومتر بوده است. با باریکه استفاده شده در این پژوهش می‌توان تا عمق حدود ۳۰ میکرومتر از نمونه‌های مورد بررسی را به دست آورد. برای آشکارسازی اشعه X از

آشکارساز Si(Li) که در زاویه ۱۳۵ درجه نسبت به باریکه پروتون فرودی قرار گرفته و دارای قدرت تفکیک ۱۵۰eV است، استفاده شده است. همچنین در این آزمایش‌ها از سیستم میکرو باریکه و جمع‌آوری داده که توسط شرکت اکسفورد ساخته شده، استفاده شده است (Mirti et al., 2008; Oliay et al., 2009). برای محاسبه درصد وزنی عناصر تشکیل دهنده نمونه‌ها بر اساس طیف‌های به دست آمده در آزمایش میکروپیکسی، از نرم‌افزار گوپیکس تحت ویندوز (GUPIXWIN) استفاده شده

است (Abe et al., 2018). این نرم‌افزار با برازش غیرخطی، از طیف به دست آمده از آزمایش میکروپیکسی که با استفاده از پارامترهای فیزیکی معین در آزمایش به دست آمده است، میزان درصد وزنی عناصر تشکیل دهنده نمونه را محاسبه می‌کند. بدین ترتیب، نتایج آنالیز میکروپیکسی دوازده نمونه از الگوهای مورد بررسی از دو محوطه گنبد جهانگیر و تپه گوریه نشان می‌دهد، ترکیبات عنصری این نمونه‌ها شامل اکسید سدیم (Na₂O)، اکسید منیزیم (MgO)، اکسید آلومینیوم (Al₂O₃)، اکسید سیلیسیم (SiO₂)، اکسید فسفر (P₂O₅)، اکسید گوگرد (SO₃)، کلر (Cl)، اکسید پتاسیم (K₂O)، اکسید کلسیم (CaO)، اکسید تیتانیوم (TiO₂)، اکسید آهن (Fe₂O₃)، اکسید منگنز (MnO) و اکسید مس (Cu₂O) است که در (جدول ۷) ارائه شده است. همان‌طور که در جدول مشاهده می‌شود ترکیبات اصلی تشکیل دهنده الگوهای آنالیز شده شامل اکسید سیلیسیم، اکسید سدیم و اکسید کلسیم است. این سه عنصر بیشترین سهم را در عناصر تشکیل دهنده این نمونه‌ها دارند؛ بنابراین می‌توان نتیجه‌گیری کرد که الگوهای شیشه‌ای آنالیز شده از گنبد جهانگیر و تپه گوریه از نوع شیشه‌های سیلیکا-سودا-آهک هستند و از آنجایی که در این نوع از شیشه‌ها مقدار وزنی اکسید منیزیم و اکسید پتاسیم بیشتر از ۲/۵ درصد است و در جدول نیز مشاهده می‌شود؛ بنابراین می‌توان بیان کرد که منبع تأمین اکسید سدیم مورد استفاده در این الگوها که نقش گدازآور را در آنها ایفا می‌کند، خاکستر حاصل از گیاهان رشد یافته در خاک‌های شور بوده است (Sayrea & Esmith, 1961).

جدول ۷: نتایج آنالیز عنصری الگوهای شیشه‌ای گنبد جهانگیر و تپه گوریه

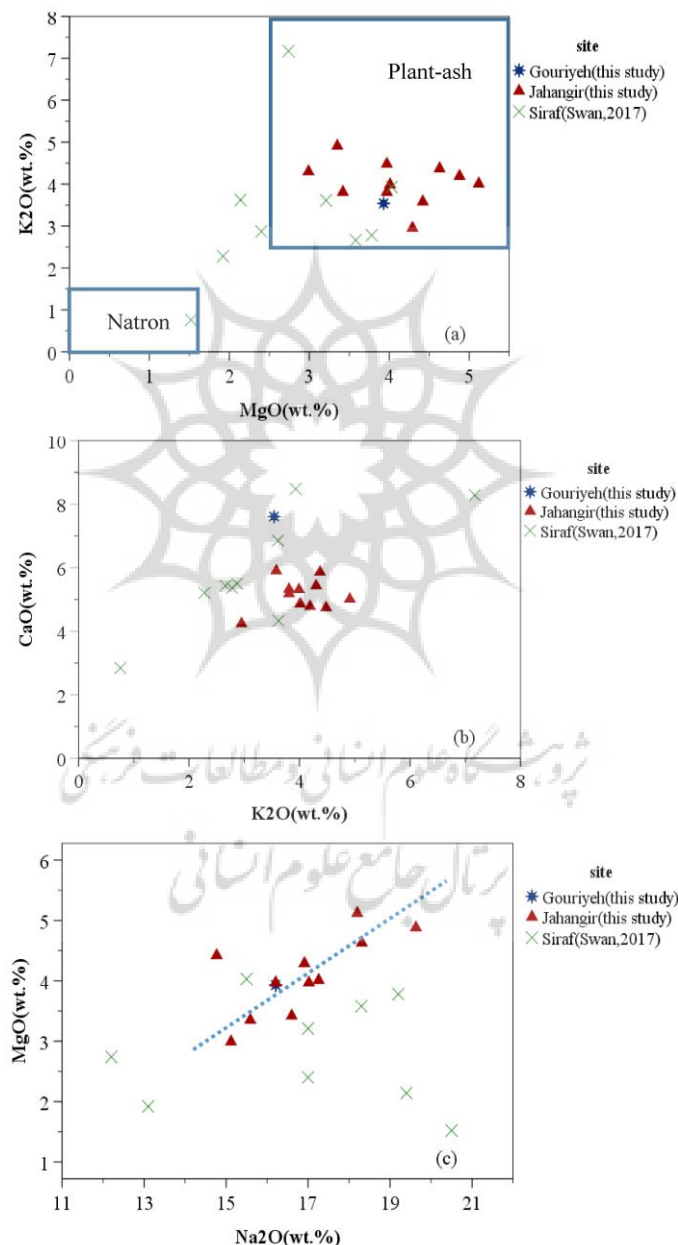
نمونه‌ها	محل کاوش	رنگ بدنه	اکسید سدیم Na ₂ O	اکسید منیزیم MgO	اکسید آلومینم Al ₂ O ₃	اکسید سیلیسیم SiO ₂	اکسید فسفر P ₂ O ₅	اکسید گوگرد SO ₃	کلر Cl	اکسید پتاسیم K ₂ O	اکسید کلسیم CaO	اکسید تیتانیوم TiO ₂	اکسید منگنز MnO	اکسید آهن Fe ₂ O ₃	اکسید مس Cu ₂ O
B 1	گنبد جهانگیر	سبز	16.21	3.97	3.13	63.91	1.11	0.53	0.58	3.81	5.18	0.10	0.02	0.90	nd
B 8	گنبد جهانگیر	سبز	18.20	5.12	2.67	62.25	1.14	0.62	0.47	4.01	4.86	0.06	0.02	0.57	nd
B 9	گنبد جهانگیر	سبز	17.26	4.01	2.98	63.70	0.89	0.44	0.55	3.99	5.31	0.11	nd	0.66	nd
B 10	گنبد جهانگیر	سبز تیره	15.12	2.99	2.46	59.51	1.29	0.75	0.66	4.30	5.43	0.06	0.15	1.16	0.70
B 11	گنبد جهانگیر	سبز	18.31	4.63	2.11	61.29	0.85	0.68	0.54	4.37	5.86	0.09	0.03	0.82	0.04
B 12	گنبد جهانگیر	سبز تیره	14.77	4.42	2.54	65.23	1.32	0.27	0.54	3.58	5.90	0.16	0.04	1.06	nd
B 13	گنبد جهانگیر	سبز	16.91	4.29	3.35	65.16	0.93	0.19	0.72	2.95	4.24	0.09	0.05	0.96	nd
B 14	گنبد جهانگیر	سبز	19.63	4.88	2.74	60.41	1.08	0.48	0.66	4.19	4.78	0.11	0.02	0.66	0.03
B 15	گنبد جهانگیر	سبز	15.59	3.35	1.54	66.25	nd	nd	0.54	4.91	5.01	0.14	0.04	0.96	0.23
B16	گنبد جهانگیر	سبز	16.60	3.42	3.05	65.65	nd	nd	0.81	3.81	5.32	0.08	nd	0.83	nd
B 19	تپه گوریه	سبز	16.21	3.93	2.37	62.81	1.05	0.68	0.94	3.54	7.61	0.08	0.03	0.72	nd
B 20	گنبد جهانگیر	قرمز	17.02	3.97	2.63	59.01	0.60	0.72	0.53	4.48	4.74	0.11	0.09	3.88	1.53

لازم است اشاره شود که مواد اولیه استفاده شده در شیشه‌های سیلیکا-سودا-آهک شامل مواد شبکه‌ساز، مواد گداز‌آور، مواد استحکام‌بخش و مواد رنگ‌زا و رنگ‌بر هستند. معمولاً در این شیشه‌ها ماده اولیه سیلیس که از شن و ماسه یا رگه‌های خالص کوارتز تهیه می‌شود، به عنوان شبکه‌ساز استفاده می‌شود (Henderson, 2013). همچنین مهم‌ترین ماده گداز‌آوری که به منظور کاهش نقطه ذوب سیلیس در شیشه‌های سیلیکا-سودا-آهک استفاده می‌شده است، اکسیدسدیم بوده است که این ماده در گذشته از دو منبع مواد معدنی (مانند ناترون) و یا خاکستر گیاهان تأمین می‌شده است. بر اساس منبع تأمین ماده گداز‌آور، شیشه‌های سیلیکا-سودا-آهک به دو گروه عمده طبقه‌بندی می‌شوند (Sayre & Smith, 1961). شیشه‌های ناترونی (natron glasses) گونه‌ای از شیشه‌های سیلیکا-سودا-آهک هستند که در آنها از ماده معدنی ناترون به عنوان گداز‌آور استفاده شده است و درصد وزنی اکسیدمنیزیم و اکسیدپتاسیم در آنها کمتر از ۱/۵ درصد وزنی است. در مقابل شیشه‌های ساخته شده از خاکستر گیاهان (plant-ash) گونه‌ای از شیشه‌های سیلیکا-سودا-آهک هستند که در آنها از خاکستر گیاهان به عنوان منبع تأمین گداز‌آور استفاده شده است و در آنها درصد وزنی اکسیدمنیزیم و اکسیدپتاسیم بیشتر از ۲/۵ درصد وزنی است. علاوه بر این، اکسیدکلسیم در شیشه‌های سیلیکا-سودا-آهک، نقش ماده استحکام‌بخش را داشته است که خاکستر تهیه شده از گیاهان منبع تأمین این ماده بوده است. همچنین عناصری مانند آهن، مس و کبالت مهم‌ترین عناصر رنگ‌زا و منگنز و آنتیمون نیز مهم‌ترین عناصر رنگ‌بر در صنعت شیشه‌گری بوده‌اند (Campbell et al., 2010). برای بررسی وجود تنوع در هر یک از مواد اولیه استفاده شده در این الگوها از نمودارهایی که در آنها تغییرات درصد وزنی عناصر مرتبط با هر یک از این مواد اولیه رسم شده است، کمک می‌گیریم. همچنین در نمودارهای رسم شده، ترکیبات عنصری الگوهای گنبد جهانگیر و تپه گوریه با تعدادی از الگوهای به دست آمده از سیراف مقایسه شده است. برخی از مهم‌ترین عناصری که از ماده گداز‌آور وارد ترکیبات شیشه می‌شوند و بر اساس آنها می‌توان اطلاعات ارزشمندی در مورد نوع و تنوع ماده گداز‌آور به کار رفته در شیشه‌های تاریخی به دست آورد، شامل سدیم، پتاسیم، منیزیم، فسفر، بور، کلر و گوگرد است (Henderson et al., 2020). در (شکل ۳a)، تغییرات درصد وزنی اکسیدمنیزیم برحسب اکسیدپتاسیم برای الگوهای آنالیز شده از گنبد جهانگیر، تپه گوریه و سیراف رسم شده است. همان‌طور که در این شکل مشاهده می‌شود درصد وزنی اکسیدمنیزیم در تمام الگوهای آنالیز شده از گنبد جهانگیر و تپه گوریه بیشتر از ۲/۵ درصد است و مقدار آن در بازه ۲/۹۹-۵/۱۲ درصد تغییر می‌کند. همچنین مقدار اکسیدپتاسیم در این الگوها بیشتر از ۲/۵ درصد است و مقدار آن در بازه ۲/۹۵-۴/۹۱ درصد تغییر می‌کند؛ بنابراین، بر اساس درصد وزنی اکسیدمنیزیم و اکسیدپتاسیم موجود در این نمونه‌ها همان‌طور که در شکل ۳a مشخص شده است، تمام الگوهای آنالیز شده از گنبد جهانگیر و تپه گوریه، در گروه شیشه‌های سیلیکا-سودا-آهک ساخته شده با استفاده از خاکستر گیاهان قرار می‌گیرند و در این نمونه‌های آنالیز شده، شیشه‌های ناترونی مشاهده نمی‌شود (Schibille, 2022). پژوهشگران بر اساس مطالعات آزمایشگاهی و اندازه‌گیری ترکیبات عنصری که تاکنون بر روی شیشه‌های دوره ساسانی انجام داده‌اند به این نتیجه رسیده‌اند، یکی از مهم‌ترین مشخصه‌های شیشه‌های دوره ساسانی بالا بودن درصد وزنی اکسیدمنیزیم آنها است. نتایج به دست آمده در این پژوهش نیز نشان می‌دهد میزان اکسیدمنیزیم در این الگوها به جزء سه نمونه، بیشتر از ۵/۳ درصد است. همچنین مشخص است که درصد وزنی اکسیدمنیزیم در این نمونه‌ها غالباً از درصد وزنی اکسیدپتاسیم بیشتر است که یکی دیگر از شاخص‌های شیشه‌های ساسانی است (Demortier, 2005 ; Oliay et al., 2009). از طرف دیگر، همان‌طور که در شکل ۳a مشخص است، بازه تغییرات درصد وزنی اکسیدمنیزیم در الگوهای آنالیز شده از سیراف بیشتر است؛ ولی مقدار اکسیدمنیزیم در نمونه‌های سیراف غالباً کمتر از ۳/۵ درصد است. همان‌طور که در شکل ۳a مشخص شده است، در الگوهای آنالیز شده از سیراف می‌توان حداقل سه گروه متمایز شناسایی کرد. در این نمونه‌ها یک نمونه از الگوها در گروه شیشه‌های ناترونی قرار دارند. سه نمونه از الگوها که بازه تغییرات اکسیدمنیزیم در آنها بین ۲/۵-۱/۵ درصد است، جزء نمونه‌هایی هستند که در ساخت آنها ترکیبی از ماده معدنی ناترون و خاکستر به عنوان گداز‌آور استفاده شده است. پنج نمونه نیز جزء شیشه‌های تولید شده با خاکستر گیاهان هستند. همچنین تغییرات درصد وزنی اکسیدپتاسیم و اکسیدکلسیم در (شکل ۳b) نشان داده شده است.

اکسیدکلسیم در شیشه‌های تولید شده با استفاده از خاکستر گیاهان نقش استحکام‌بخشی در شیشه را ایفا می‌کند و منبع تأمین آن همان خاکستری است که به عنوان ماده‌گذار آور استفاده شده است. همان‌طور که در این شکل نشان داده شده است تغییرات این دو اکسید در النگوهای گنبد جهانگیر و تپه‌گوریه محدود است که نشان دهنده استفاده از یک نوع ماده‌گذار آور در این نمونه‌ها است. این در حالی است که در نمونه‌های سیراف تغییرات این دو اکسید بسیار گسترده است و نشان دهنده استفاده از گذارآورهای متنوع در ساخت آنها است که در شکل ۳b نیز کاملاً مشخص است. در (شکل ۳c) بر اساس تغییرات درصد وزنی اکسیدسدیم برحسب اکسیدمنیزیم، تفاوت موجود در نمونه‌های گنبد جهانگیر و سیراف دوباره به‌طور واضح مشخص است. همچنین همبستگی خطی بین اکسیدسدیم و اکسیدمنیزیم در النگوهای گنبد جهانگیر و تپه‌گوریه که با خطچین آبی رنگ در شکل ۳c نشان داده شده است، نشان دهنده این موضوع است که در نمونه‌های گنبد جهانگیر از یک نوع گذارآور استفاده شده است. در حالی که در النگوهای سیراف از مواد گذارآور متفاوتی استفاده شده است. همان‌گونه که در بالا شرح داده شد، النگوهای آنالیز شده از محوطه کرانه کنگ و شمد دیده‌بان سیاه رنگ هستند و مشابه آن در محوطه‌های مورد بررسی به دست نیامده است. نتایج آنالیز النگوهای شمد دیده‌بان و بندر کنگ نشان می‌دهد درصد وزنی اکسیدمنیزیم در نمونه‌های آنالیز شده از این دو محوطه تقریباً بیشتر از ۲/۵ درصد است و مقدار آن بین ۴/۹۴-۲/۴۰ درصد تغییر می‌کند. درصد وزنی اکسیدسدیم در النگوهای محوطه کنگ بین ۱۴ تا ۲۱ درصد است و مقدار پتاسیم بین ۲/۵ تا ۶/۵ درصد تغییر می‌کند. این تغییرات زیاد، نشان دهنده‌ی این است که برای ساخت النگوهای این محوطه از ماده‌گذار آور ناخالص استفاده شده است ولی در النگوهای شمد دیده‌بان مقدار اکسیدسدیم ۱۶/۵ تا ۱۸/۵ درصد و اکسیدپتاسیم بین ۴ تا ۶ درصد است که نشان می‌دهد از یک ماده‌گذار آور استفاده شده است (Agha-Aligol et al., 2022). در انتها لازم است بیان شود که ترکیبات عنصری مختلف گذارآورها به نوع گیاه استفاده شده در تهیه خاکستر و همچنین خاکی که گیاه در آن رشد کرده بستگی دارد. همچنین می‌تواند نشان از وارداتی بودن النگوها نیز باشد (Schibille, 2017).

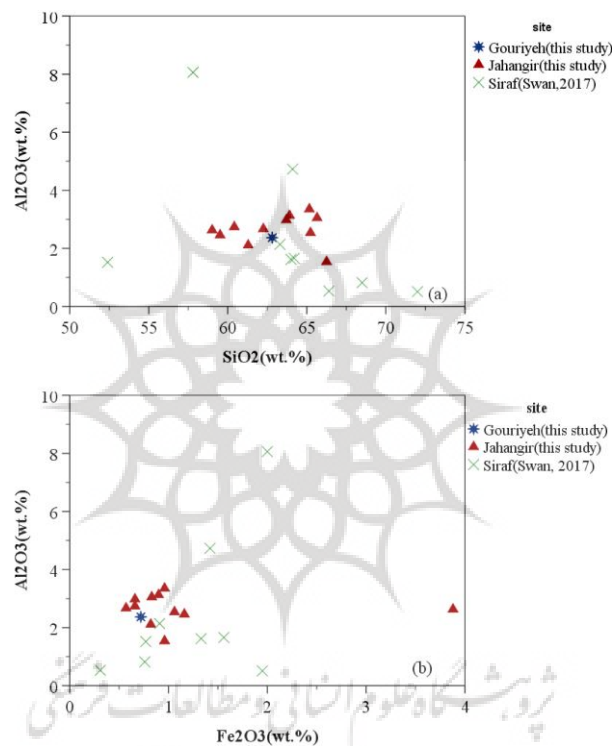
برای بررسی تفاوت‌های موجود در مواد اولیه سیلیس در مصنوعات شیشه‌ای، یکی از بهترین معیارهایی که تاکنون پیشنهاد شده و مورد استفاده قرار گرفته است، بررسی تغییرات درصد وزنی اکسیدسیلیسیم برحسب مقدار ناخالصی‌هایی مانند اکسیدآلومینیم، اکسیدتیتانیم و یا اکسیدآهن موجود در شیشه‌ها است (Oikonomou & Triantafyllidis, 2018; Lin et al., 2019). معمولاً در شیشه‌های سیلیکا-سودا-آهک برای تهیه ماده اولیه سیلیس از شن و ماسه یا رگه‌های خالص کوارتز استفاده می‌شده است. در (شکل ۴a) تغییرات درصد وزنی اکسیدسیلیسیم برحسب اکسیدآهن و در (شکل ۴b) تغییرات درصد وزنی اکسیدآهن برحسب اکسیدآلومینیم نشان داده شده است. همان‌طور که در شکل ۴a مشخص است، تغییرات مربوط به عناصر ناشی از ماده اولیه سیلیس در النگوهای گنبد جهانگیر و تپه‌گوریه بسیار محدود است. در نمونه‌های آنالیز شده گنبد جهانگیر و تپه‌گوریه میزان اکسیدسیلیسیم در بازه ۶۷-۵۸ درصد و اکسیدآلومینیم در بازه ۲-۳ درصد تغییر می‌کند. این در حالی است که در نمونه‌های سیراف میزان اکسیدسیلیسیم در بازه ۷۲-۵۲ درصد و اکسیدآلومینیم در بازه ۸-۱ درصد تغییر می‌کند. همچنین همان‌طور که در شکل ۴b مشاهده می‌شود میزان ناخالصی اکسیدآهن در النگوهای گنبد جهانگیر (به جز یک نمونه) در محدوده ۱/۲-۰/۵ درصد و در النگوهای سیراف بین ۲/۰-۰/۳ درصد متغیر است. بر این اساس همان‌طور که در (شکل ۵) مشاهده می‌شود النگوهای گنبد جهانگیر از النگوهای سیراف جدا شده‌اند. البته در یکی از نمونه‌های گنبد جهانگیر که شامل نمونه‌ای با بدنه قرمز رنگ است (جدول ۵)، میزان اکسیدآهن حدود ۴ درصد است که در این نمونه اکسیدآهن به عنوان رنگ‌دانه به این نمونه اضافه شده است و این میزان اکسیدآهن از ناخالصی سیلیس وارد ترکیبات شیشه نشده است و باعث شده که این نمونه از بقیه نمونه‌ها جدا شود (Vataj et al., 2017)؛ بنابراین کاملاً مشخص است در نمونه‌های آنالیز شده از این محوطه‌ها از منابع سیلیس تقریباً یکسانی استفاده شده است. علاوه بر این، بر اساس میزان تغییرات سیلیس و ناخالصی‌های موجود در آن می‌توان

چنین نتیجه‌گیری کرد که در نمونه‌های گنبد جهانگیر از منابع سیلیس خالص‌تری نسبت به النگوهای سیراف استفاده شده است. همچنین می‌توان استنتاج کرد که در فرایند ساخت شیشه‌های مربوط به این محوطه‌ها از منابع شن یا ماسه به عنوان منبع تأمین‌کننده سیلیس استفاده شده است؛ زیرا در صورتی که منابع تأمین سیلیس در شیشه‌های قدیمی، ماده معدنی کوارتز بود، میزان ناخالصی اکسیدآلومینیم و اکسید آهن باید بسیار کمتر از ۱ درصد باشد (Rehren & Freestone, 2015). البته همان‌طور که در شکل ۵ مشاهده می‌شود، در تعدادی محدودی از نمونه‌های سیراف (سه نمونه) اکسیدآلومینیم اندکی کمتر از یک درصد است که ممکن است با توجه به تنوع سیلیس استفاده شده در سیراف در این چند نمونه سیلیس خالص‌تری استفاده شده باشد.

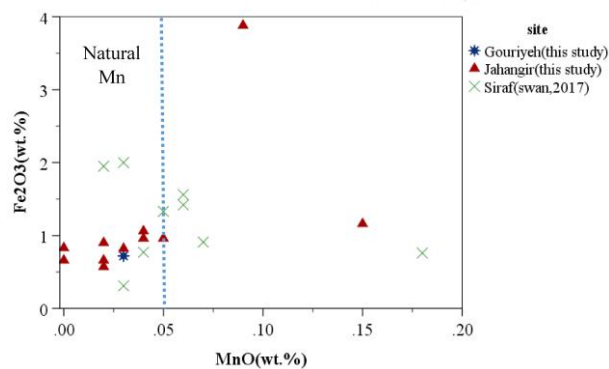


شکل ۳: (a) تغییرات درصد وزنی اکسیدمنیزیم بر حسب اکسیدپتاسیم، (b) تغییرات درصد وزنی اکسیدپتاسیم بر حسب اکسید کلسیم، (c) تغییرات درصد وزنی اکسیدسدیم بر حسب اکسیدمنیزیم در النگوهای آنالیز شده از گنبد جهانگیر، تپه گوریه و سیراف. همبستگی خطی بین ناخالصی‌های موجود در سودای استفاده شده در نمونه‌های گنبد جهانگیر با خط‌چین آبی رنگ در شکل نشان داده شده است.

اما برای بررسی عناصر رنگ‌بر و رنگ‌زا در الگوهای آنالیز شده از گنبد جهانگیر و تپه گوریه، همان‌طور که در شکل ۵ مشخص شده است، غالب الگوها دارای رنگ سبز، دو نمونه سبز تیره و یک نمونه قرمز هستند. با توجه به جدول ترکیبات عنصری نمونه‌های آنالیز شده، مشخص است که اکسید آهن و اکسید مس عناصری هستند که می‌توانند بیشترین نقش را به عنوان مواد رنگ‌زا و عامل ایجاد رنگ سبز و سبز تیره در این نمونه‌ها ایفا کنند. همچنین اکسید منگنز نیز تنها عنصری است که در این الگوها می‌تواند نقش بی‌رنگ‌کننده و رنگ‌بر را داشته باشد (Henderson et al., 2004)؛ اما اکسید آهن و اکسید منگنز در زمان تهیه شیشه ممکن است به صورت عمدی یا غیرعمد وارد ترکیبات شیشه شود. در صورت غیرعمدی بودن، این دو اکسید می‌توانند از ناخالصی موجود در ماده اولیه سیلیس وارد فرایند ساخت شوند. بر این اساس نحوه تغییرات و میزان درصد وزنی اکسید منگنز برحسب اکسید آهن می‌تواند اطلاعات مفیدی در مورد آگاهانه (عمدی) یا ناآگاهانه (غیرعمدی) افزوده شدن مواد رنگ‌زا و رنگ‌بر در فرایند ساخت فراهم کند.



شکل ۴: (a) تغییرات درصد وزنی اکسید سیلیسیم برحسب اکسید آلومینیم، (b) تغییرات درصد وزنی اکسید آهن برحسب اکسید آلومینیم در الگوهای آنالیز شده از گنبد جهانگیر، تپه گوریه و سیراف



شکل ۵: تغییرات اکسید منگنز برحسب اکسید آهن در الگوهای آنالیز شده از گنبد جهانگیر، تپه گوریه و سیراف

در شکل ۵ تغییرات اکسیدمنگنز برحسب اکسید آهن برای تمام النگوهای آنالیز شده از گنبد جهانگیر، تپه گوریه و سیراف رسم شده است. همان‌طور که در این شکل مشاهده می‌شود، بر اساس تغییرات میزان اکسید آهن برحسب اکسیدمنگنز، نمونه‌های آنالیز شده از این محوطه باز هم از یکدیگر قابل تفکیک هستند. در النگوهای گنبد جهانگیر و تپه گوریه مقدار اکسیدمنگنز (به جز یک نمونه) کمتر از ۰/۰۵ درصد و اکسید آهن (به جز یک نمونه) نیز حدود ۱/۲-۵ درصد تغییر می‌کند. از طرفی در النگوهای سیراف میزان اکسیدمنگنز غالباً بیشتر از ۰/۰۵ درصد و میزان اکسید آهن نیز تقریباً بین ۲/۰-۵/۰ درصد تغییر می‌کند. معمولاً در صورتی که اکسیدمنگنز از ناخالصی موجود در سیلیس و غیر عمدی وارد فرایند ساخت شیشه شده باشد، مقدار این اکسید در نمونه‌ها باید کمتر از حدود ۰/۱۰ درصد باشد (Gliozzo et al., 2017)؛ بنابراین با توجه به شکل ۵ مشخص است که در النگوهای هر سه محوطه فرایند افزوده شدن مواد بی‌رنگ کننده به صورت کاملاً غیر عمدی انجام شده است و این مقدار از اکسیدمنگنز از ناخالصی موجود در سیلیس ناشی می‌شود. همچنین اکسید آهن که به عنوان عامل رنگ‌زا عمل می‌کند، با توجه به مقدار آن در النگوهای گنبد جهانگیر (به جز نمونه قرمز رنگ) از ناخالصی موجود در سیلیس ناشی می‌شود و مقدار آن نیز خارج از کنترل بوده است؛ اما در النگوهای سیراف اکسید آهن هم به صورت غیر عمدی و هم به صورت عمدی و آگاهانه در فرایند ساخت وارد شده‌اند. البته در بررسی‌های انجام شده در مورد ترکیبات عنصری به دست آمده از شیشه‌های سیراف مشخص شده که آنها در چهار منطقه تولید شده‌اند؛ که عبارت‌اند از: ۱- تولیدات محلی، ۲- شیشه‌های با غلظت منیزیم بالا که مشابه شیشه‌های دوره ساسانی و اوایل اسلامی در عراق است، ۳- شیشه‌های شبیه به شیشه‌های مصر، سوریه و فلسطین در دوره اسلامی و ۴- النگوها و ظروف شیشه‌ای کم‌مگنز که متعلق به دوره‌ای است که سیراف اهمیت خود را به عنوان یک مرکز اقتصادی از دست داده است (Swan et al., 2017).

۷. نتیجه‌گیری

با بررسی النگوهای شیشه‌ای به دست آمده از محوطه گنبد جهانگیر و تپه گوریه می‌توان آنها را از نظر ظاهری به پنج گروه تقسیم کرد؛ که عبارت‌اند از: ۱- النگوهای ساده دایره‌ای، ۲- النگوهای تخت با مقطع نیم‌دایره، ۳- النگوهای آجدار، ۴- النگوهای تابیده با مقطع دایره‌های و ۵- النگو با تزئینات هندسی. از نظر ریخت‌شناسی این النگوها با النگوهای شیشه‌ای سیراف، قصر ابونصر، شاور، رقه و النگوهای شیشه‌ای موزه اورشلیم مشابهت دارد. با بررسی و مقایسه ترکیبات عنصری النگوهای شیشه‌ای این محوطه می‌توان نتیجه گرفت که شیشه‌های این محوطه‌ها اگرچه از نظر اکسیدسدم غنی هستند و منبع اصلی ماده گداز آور در آنها خاکستر حاصل از گیاهان رشد یافته در خاک شور است؛ اما از مواد گداز آور و سیلیس تقریباً یکسانی تولید شده‌اند. بر اساس مقدار اکسیدمنیزیم و اکسیدپتاسیم بالا در النگوهای گنبد جهانگیر و تپه گوریه می‌توان گفت این النگوها کاملاً مشخصات شیشه‌های بین‌النهرین را دارا هستند و جزء تولیدات محلی قرار می‌گیرند؛ اما النگوهای شیشه‌ای با تزئینات سطحی سیراف که در برخی از آنها میزان اکسیدآلومینیم نیز بسیار بالا و در حدود ۸ درصد است که نشان می‌دهد در این منطقه علاوه بر تولیدات شیشه‌ای محلی، شیشه‌های نیز از شرق، جنوب شرق آسیا و یا آسیای میانه وارد منطقه شده است و این منطقه نقش مهمی را به عنوان یکی از مراکز تجاری بین ایران و کشورهای آسیای جنوب شرقی را در دوره اوایل اسلامی برعهده داشته است.

مشارکت نویسندگان

بیتا سودایی: تحقیق و بررسی، روش‌شناسی، پیش‌نویس مقاله و ویرایش؛ داود آقاعلی‌گل: روش‌شناسی، بررسی و ویرایش، تحلیل داده‌ها و بررسی نهایی؛ لیلا خسروی: تهیه نمونه.

References

- Abe, Y., Shikaku, R., & Nakai, I. (2018). Ancient glassware travelled the Silk Road: Nondestructive X-ray fluorescence analysis of tiny glass fragments believed to be sampled from glassware excavated from Niizawa Senzuka Tumulus No. 126, Japan. *Journal of Archaeological Science: Reports*, 17, 212-219.
- Agha-Aligol, D., Jafarizadeh, M., & Moradi, M. (2018). Micro-PIXE: A Powerful Technique in Measurement and Determination of Raw Materials of Glass artifacts of Parthian Period from Fhaur (Susa), *Jurnal of Research on Archaeometry*, 4(1): 47-65 [in Persian]
- آقاعلی گل، داود، جعفری‌زاده، مسلم، مرادی، محمود. (۱۳۹۷). میکروپیکسی: روشی توانمند در بررسی و تعیین مواد اولیه مصنوعات شیشه‌ای دوره اشکانی کاخ شاتور (شوش)، پژوهش باستان‌سنجی، ۴ (۱): ۴۷-۶۵.
- Agha-Aligol, D., Jafarizadeh, M., Rahbar, M., & Moradi, M. (2019). Application of micro-PIXE method for elemental analysis of discovered glass beads from Saleh Davood tombs of Khuzestan: Evidence of trade of glass artifacts in the Parthian period. *Jurnal of Research on Archaeometry*, 5(1). [in Persian]
- آقاعلی گل، داود، جعفری‌زاده، مسلم، رهبر، مهدی، مرادی، محمود. (۱۳۹۸). کاربرد روش میکروپیکسی جهت آنالیز عنصری مهره‌های شیشه‌ای مکشوفه از آرامگاه‌های صالح داود خوزستان: شواهدی از تجارت مصنوعات در دوره اشکانی، پژوهش باستان‌سنجی، ۵ (۱): ۱.
- Agha-Aligol, D., Sodaei, B., Khosravi, L., & Karimi, M. (2019). Investigation and Study of Glass artifacts of the Sassanid period; Case Study: Jahangir Dome and Gouriye glasses in Ilam province using Micro-PIXE technique, *Journal of Research on Archaeometry*: 5(2). [in Persian]
- آقاعلی گل، داود، سودایی، بیتا، خسروی، لیلا، کریمی، مینا. (۱۳۹۸). بررسی و مطالعه مصنوعات شیشه‌ای دوره ساسانی، نمونه مطالعاتی: شیشه‌های محوطه گنبد جهانگیر و تپه کوریه در استان ایلام با استفاده از روش میکروپیکسی، پژوهش باستان‌سنجی، ۵ (۲): ۴۷-۷۰.
- Agha-Aligol, D., Omid, K., Rahimi, T., & Moradi, M. (2022). Elemental composition of black glass bracelets of the northern coasts and the western part of the Persian Gulf by micro-PIXE technique, case study: the shore Area of the old Bandar Kong and the back shore of Shamad-e- Dideban., *Journal of Research on Archaeometry*, 8(2): 165-191. DOI: 10.52547/jra.8.2. 165. [in Persian]
- آقاعلی گل، داود، امید، کاظم، رحیمی، طیبه، مرادی، محمود. (۱۴۰۱). شناسایی ترکیبات شیمیایی النگوهای شیشه‌ای به دست آمده از کرانه‌ای بندر کنگ قدیم و پسرکرانه ای شمد دیده‌بان، پژوهش باستان‌سنجی، ۸ (۲): ۱۶۵-۱۹۱.
- Agha-Aligol, D., Esmaili jelodar, M. E., Moradi, M., & Arab Kermani, M. (2023). The Art of Glass in Siraf, Measuring the Elemental Compositions of Islamic Glass Obtained from Siraf, The National Conference of the Cultural and Artistic Heritage of Siraf in the Persian Gulf Region. [in Persian]
- آقاعلی گل، داود، اسماعیلی‌جلودار، محمداسماعیل، مرادی، محمود، عرب‌کرمانی، مرضیه. (۱۴۰۲). هنر شیشه‌گری در سیراف، اندازه‌گیری ترکیبات عنصری شیشه‌های اسلامی به دست آمده از سیراف، همایش ملی میراث فرهنگی و هنری سیراف در پهنه خلیج فارس.
- Bahadori, R., & Agha-Aligol, D. (2018). Laboratory studies of a number of blue and green Beads used in perhistoric ornaments of the National Museum of Iran, *Archaeological Research of Iran*, 8 (18), 45-62 [in Persian]
- بهادری، رویا، آقاعلی گل، داود. (۱۳۹۷). مطالعات آزمایشگاهی تعدادی از مهره‌های آبی و سبز به کار رفته در زیورات پیش از تاریخ موزه ملی ایران، پژوهش‌های باستان‌شناسی ایران ۸ (۱۸): ۴۵-۶۲.
- Brill, H.R. (1999). *Chemical analyses of early glasses*, Volume 3.
- Brill, R.H. (2012). *Coring Museum of glass*, Corning, N.Y.
- Campbell, J. L., Boyd, N. I., Grassi, N., Bonnicksen, P., & Maxwell, J. A. (2010). The Guelph PIXE software package IV. *Nuclear Instruments and Methods in Physics Research Section B: Beam Interactions with Materials and Atoms*, 268(20), 3356-3363.

- Demortier, G. (2005). Ion beam techniques for the non-destructive analysis of archaeological materials. *X-rays for Archaeology*, 67-100.
- Emami, M., & Pakgozar, S. (2017). Glass Wires from Chogha Zabnbil Preliminary Glass Making Evidence in Iran in the Early 2nd Millennium BC. *Journal of Resear on Archaeometry*: 3(1): 1-15 [in Persian]
- امامی، محمدامین، پاک‌گوهر، سجاد. (۱۳۹۶). مفتول‌های شیشه‌ای چغازنبیل، اولین نشانه‌های شیشه‌گری ایران در هزاره دوم پیش از میلاد، *مجله علمی پژوهشی پژوهش باستان‌سنجی*، ۳ (۱): ۱-۱۵.
- Gliozzo, E., Lepri, B., Sagui, L., & Turbanti Memmi, I. (2017). Colourless glass from the Palatine and Esquiline hills in Rome (Italy). New data on antimony-and manganese-decoloured glass in the Roman period. *Archaeological and Anthropological Sciences*, 9, 165-180.
- Grabar, O., Holod, R., Knustad, J., & Trousdale, W. (1978). *City in the desert, Qaṣr al-Hayr East*.
- Henderson, J. (2013). *Ancient glass: an interdisciplinary exploration*. Cambridge University Press.
- Henderson, J., Ma, H., & Evans, J. (2020). Glass production for the Silk Road? Provenance and trade of Islamic glasses using isotopic and chemical analyses in a geological context. *Journal of Archaeological Science*, 119, 105164.
- Henderson, J., McLoughlin, S. D., & McPhail, D. S. (2004). Radical changes in Islamic glass technology: evidence for conservatism and experimentation with new glass recipes from early and middle Islamic Raqqa, Syria. *Archaeometry*, 46(3), 439-468.
- Lin, Y., Liu, T., Toumazou, M. K., Counts, D. B., & Kakoulli, I. (2019). Chemical analyses and production technology of archaeological glass from Athienou-Malloura, Cyprus. *Journal of Archaeological Science: Reports*, 23, 700-713.
- Mirti, P., Pace, M., Negro Ponzi, M. M., & Aceto, M. (2008). ICP-MS Analysis of Glass Fragments of Parthian and Sasanian Epoch from Seleucia and Veh Ardaš? R (Central Iraq). *Archaeometry*, 50(3), 429-450.
- Meyer, C. (1992). *Glass from Quseir al-Qadim and the Indian Ocean trade (Vol. 5300)*. The Oriental Institute of the University of Chicago.
- Nash, C. (2021a). Glass bangles of Siraf in the Gulf Region: An archaeological and scientific investigation – Chartered Institute for Archaeologists, In conference presentation - 'Innovative Approaches' section.
- Nash, C. (2021b). *Islamic glass bangles: a journey across the Indian Ocean trade network.*, 30-31
- Northedge, A., Bamber, A., & Roaf, M. (1988). *Excavations at Ana, Warminster, England*, Arts& Phillips Ltd.
- Oikonomou, A., & Triantafyllidis, P. (2018). An archaeometric study of Archaic glass from Rhodes, Greece: Technological and provenance issues. *Journal of Archaeological Science: Reports*, 22, 493-505.
- Oliaiy, P., Agha-Aligol, D., Shokouhi, F., Lamehi-Rachti, M. (2009). Analysis of Iranian postage stamps belonging to the Qajar dynasty (18th-20th century's) by Micro-PIXE, X-Ray Spectrometry., 38., 479-486.
- Rehren, T., & Freestone, I. C. (2015). Ancient glass: from kaleidoscope to crystal ball. *Journal of Archaeological Science*, 56, 233-241.
- Salehvand, N., Shishegar, A., Jafarizadeh, M., & Firozmandi, B. (2017). Resarch on glass Tubes of L-Oventish-Nppirish Experimental and studing by the unknown beam fluorescence method, *Jurnal Archaeological Research of Iran.*, Vol 87. pp 87-104 [in Persian]
- صالح‌وند، نوید، شیشه‌گر، آرمان، جعفری‌زاده، مسلم، فیروزمندی شیرجینی، بهمن. (۱۳۹۶). پژوهشی پیرامون لوله‌های شیشه‌ای درهای ال-اوتنش - نیپیریش آزمایش و مطالعه‌ی آن‌ها با روش فلورسانس پرتو مجهول، *پژوهش‌های باستان‌شناسی ایران*، ۸۷: ۸۷-۱۰۴.
- Sayre, E. V., & Smith, R. W. (1961). Compositional categories of ancient glass. *Science*, 133(3467), 1824-1826.
- Schibille, N., Sterrett-Krause, A., & Freestone, I. C. (2017). Glass groups, glass supply and recycling in late Roman Carthage. *Archaeological and Anthropological Sciences*, 9, 1223-1241.
- Schibille, N. (2022). *Islamic glass in the making: chronological and geographical dimensions (p. 270)*. Leuven University Press.

- Simpson, S. J. (2015). Sasanian glassware from Mesopotamia, Gilan, and the Caucasus. *Journal of Glass Studies*, 77-96.
- Shishegar, A. (2018). Production and trade of glass in the Islamic world, the whisper of bangles in a historical journey, Far Firouz, Dr. Firouz Baqerzadeh's celebratory, pp. 349-414 [in Persian]
- شیشه‌گر، آرمان. (۱۳۹۸). تولید و تجارت شیشه در جهان اسلام نجوای دلنشین الگوها در سفری تاریخی، فر فیروز، جشن‌نامه دکتر فیروز باقرزاده: ۳۴۹-۴۱۴.
- Spaer, M. (1992). The Islamic glass bracelets of Palestine: preliminary findings. *Journal of Glass Studies*, 44-62.
- Spaer, M. (1988). The Pre-Islamic Glass Bracelets of Palastine. *Journal of Glass Studies*, 30, 51-61.
- Swan, C. M., Rehren, T., Lankton, J., Gratuze, B., & Brill, R. H. (2017). Compositional observations for Islamic glass from Sīrāf, Iran, in the Corning Museum of Glass collection. *Journal of Archaeological Science: Reports*, 16, 102-116.
- Van Wersch, L., Loisel, C., Mathis, F., Strivay, D., & Bully, S. (2016). Analyses of early medieval stained window glass from the monastery of Baume-Les-Messieurs (Jura, France). *Archaeometry*, 58(6), 930-946.
- Vataj, E., Hobdari, E., Röhrs, S., Vandenabele, P., & Civici, N. (2017). Analytical characterization of glass tesserae from mosaics of early Christian basilicas in Albania. *Applied Physics A*, 123, 1-15.
- Whitehouse, D. (1968). Excavations at Sīrāf: First interim report. *Iran*, 6(1), 1-22.

